

LHC-ATLAS実験における 前方陽子検出器を用いた二光子共鳴探索の 背景事象推定

日本物理学会 2021年秋季大会

2021年9月17日 17pT2-4

東大理, 東大素セ^A

館野元, 田中純一^A, 寺師弘二^A, 奥村恭幸^A, 江成祐二^A, 増渕達也^A

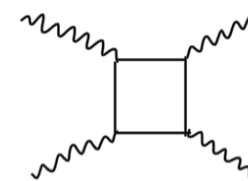


高エネルギー光子-光子散乱

光子-光子散乱に寄与する $O(100)$ GeV の新粒子の予言

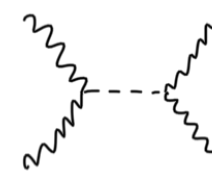
- 荷電粒子 $\mathcal{L}_{4\gamma} = \zeta_1 F_{\mu\nu} F^{\mu\nu} F_{\rho\sigma} F^{\rho\sigma} + \zeta_2 F_{\mu\nu} F^{\nu\rho} F_{\rho\lambda} F^{\lambda\mu}$

Vector-like fermionなど



- 中性粒子 $\mathcal{L}_{\gamma\gamma} = f_{0^+}^{-1} \varphi (F_{\mu\nu})^2 + f_{0^-}^{-1} \tilde{\varphi} F_{\mu\nu} F_{\rho\lambda} \epsilon^{\mu\nu\rho\lambda} + f_2^{-1} h^{\mu\nu} \left(-F_{\mu\rho} F_\nu^\rho + \eta_{\mu\nu} (F_{\rho\lambda})^2 / 4 \right)$

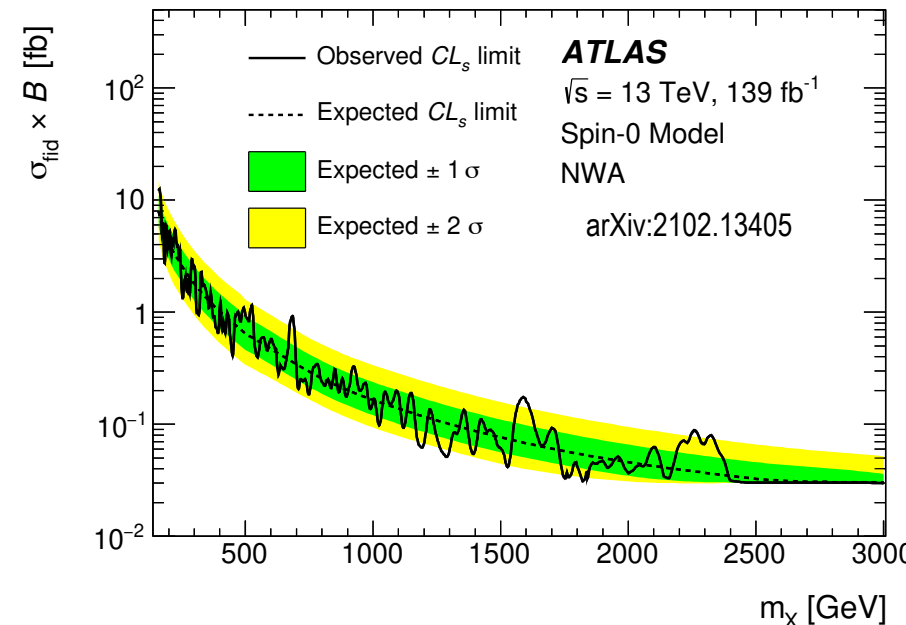
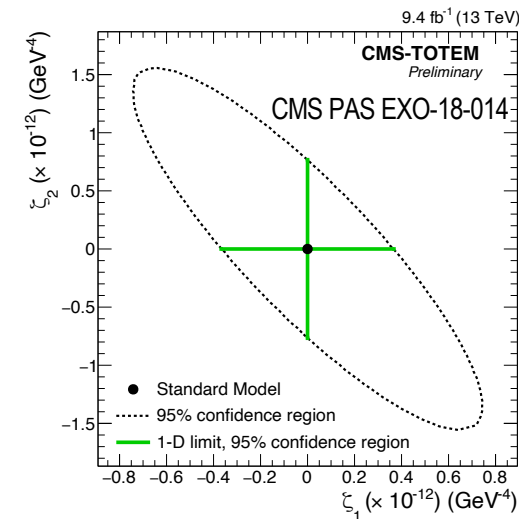
- Axion-like particle
- KKグラビトン
- Strongly-interacting heavy dilaton



ただの二光子共鳴探索ではなく

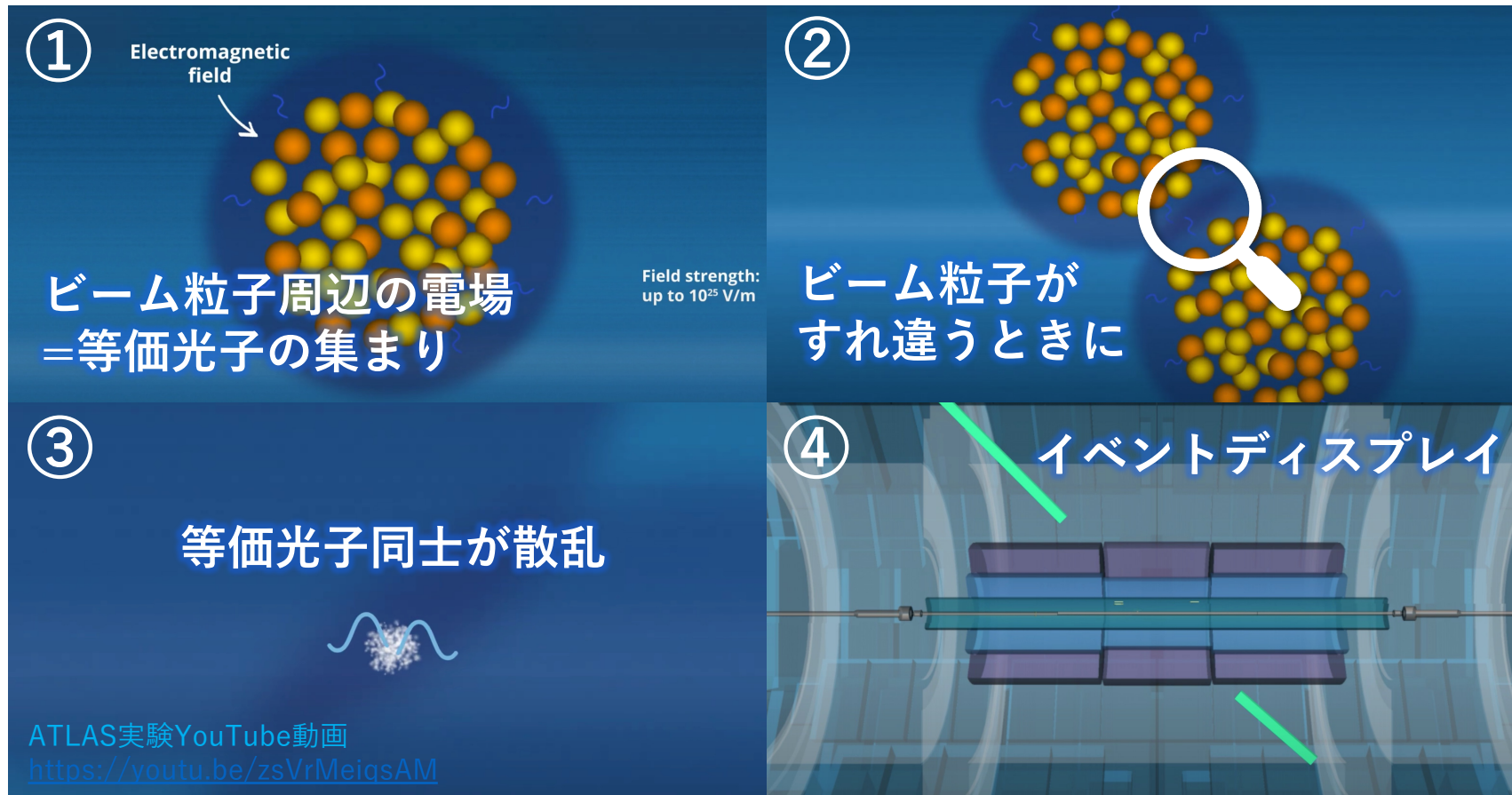
光子-光子散乱に特化した解析で探索できれば

- 新粒子発見時に信号の種類を特定しやすい
- 通常の二光子共鳴探索と結果を統合できる
- 同じEFTランジアンで統一的に結果を解釈できる



陽子-陽子衝突における光子-光子散乱

ビーム粒子周辺の等価光子同士の散乱

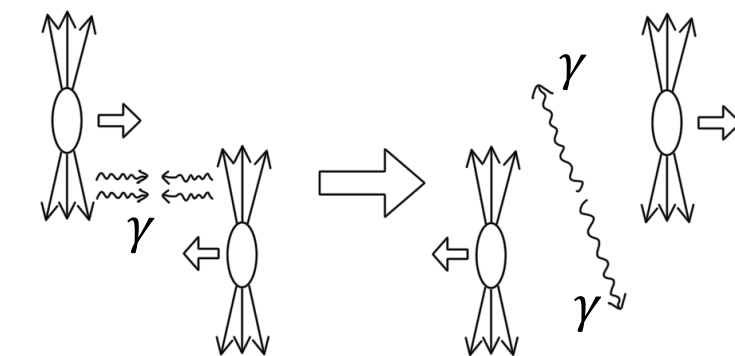


鉛イオン同士の衝突実験では観測済み

Phys. Rev. Lett. 123 (2019) 052001

陽子衝突でも同じパターンの
光子-光子散乱が起こるはず

電場



イベントの特徴

- **二光子が**
 - **back-to-back**
 - **排他的**(他にオブジェクトが無い)
- **陽子を壊さない**

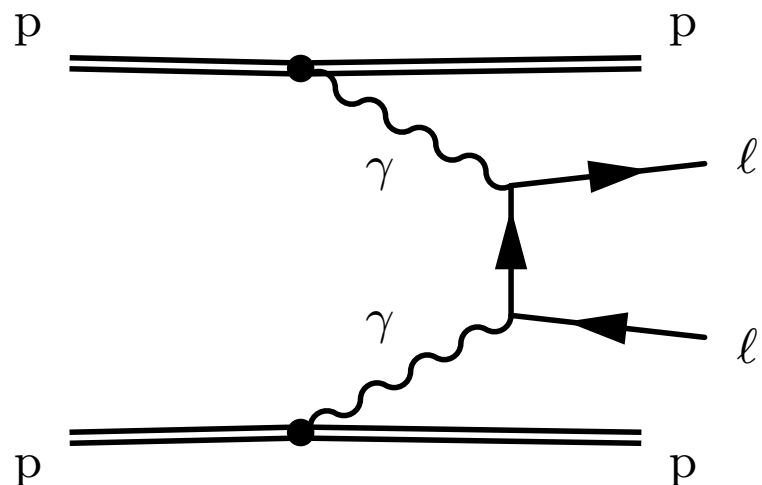
特別な
検出器で
抑えたい

光子-光子散乱に寄与する
新粒子を探索

陽子-陽子衝突における光子-光子散乱

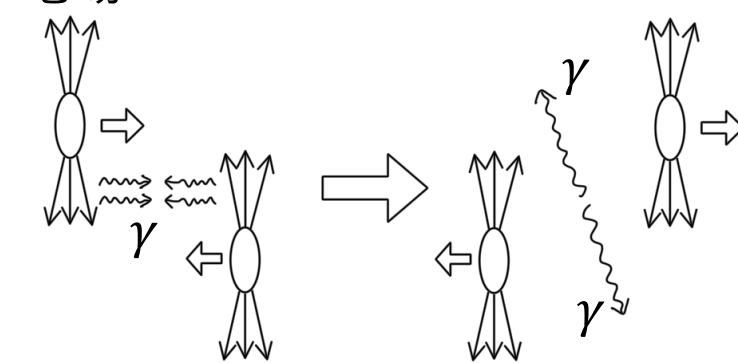
2レプトン終状態を通して
陽子衝突における等価光子同士の反応を
観測済み

Phys. Rev. Lett. 125 (2020) 261801



陽子衝突でも同じパターンの
光子-光子散乱が起こるはず

電場



イベントの特徴

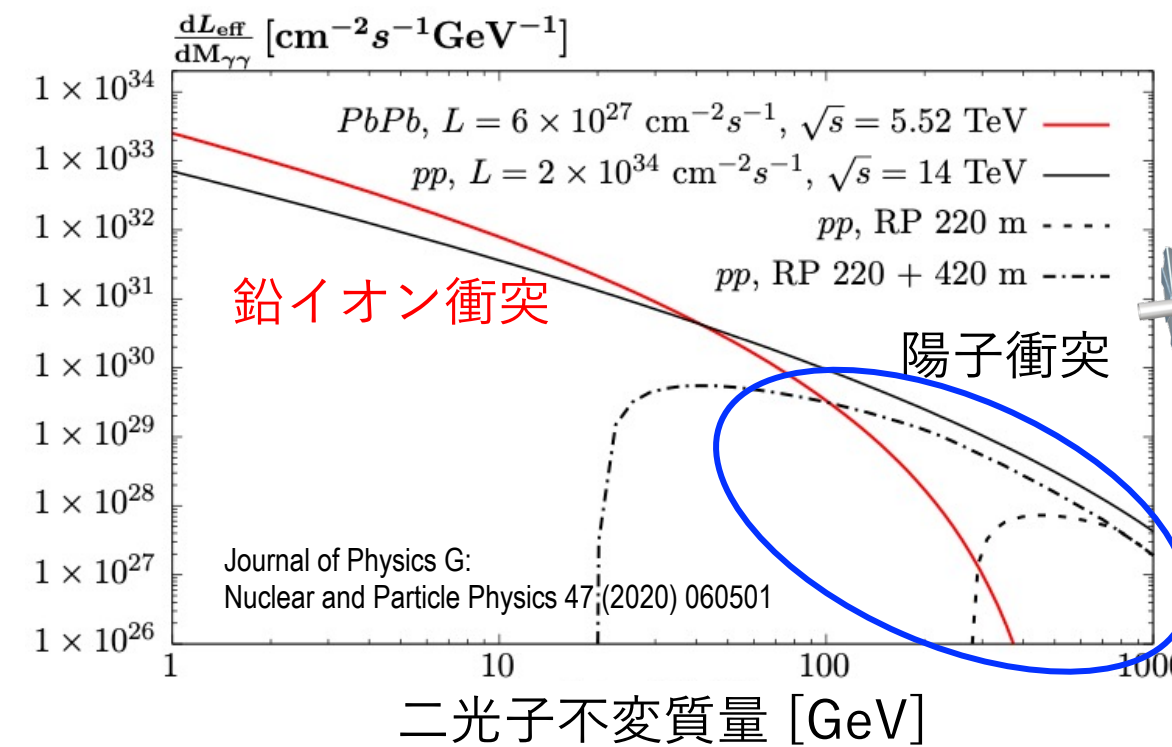
- **二光子が**
 - back-to-back
 - 排他的(他にオブジェクトが無い)
- **陽子を壊さない**

特別な
検出器で
抑えたい

光子-光子散乱に寄与する
新粒子を探索

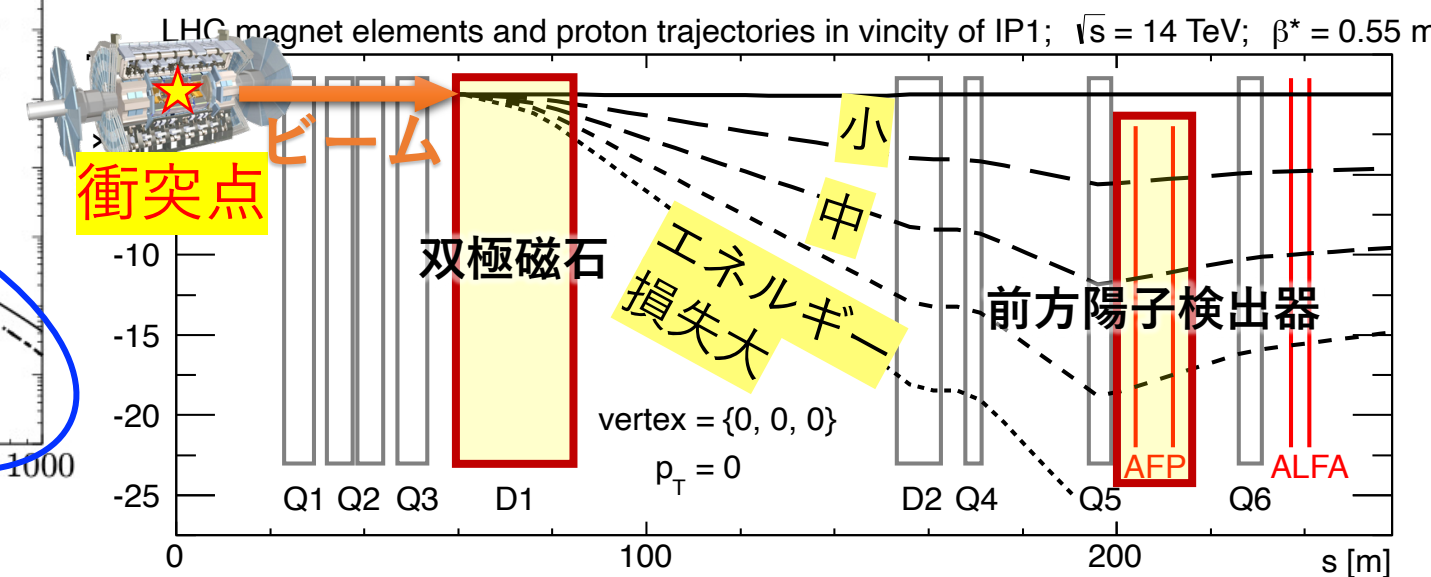
前方陽子検出器の利用

光子-光子の実効瞬間ルミノシティ



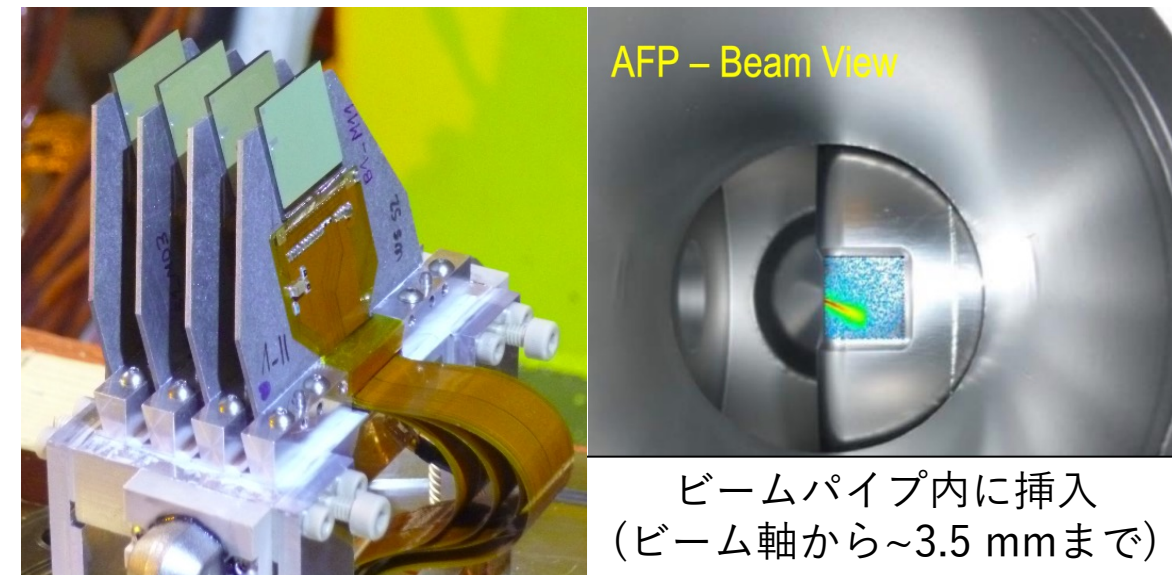
高質量領域では陽子衝突を用いた方が
(ATLAS実験では)感度が高い

前方陽子検出器を利用し
壊れていない陽子に対する要求を
イベント選択条件に含めることで
SN比を大幅に上げる



陽子は反応により数百GeVのエネルギーを損失
→ ビームの一部として残るがLHCマグネットに
曲げられて軌道がやや逸れる
陽子エネルギー損失率 ξ によって軌道が変わる

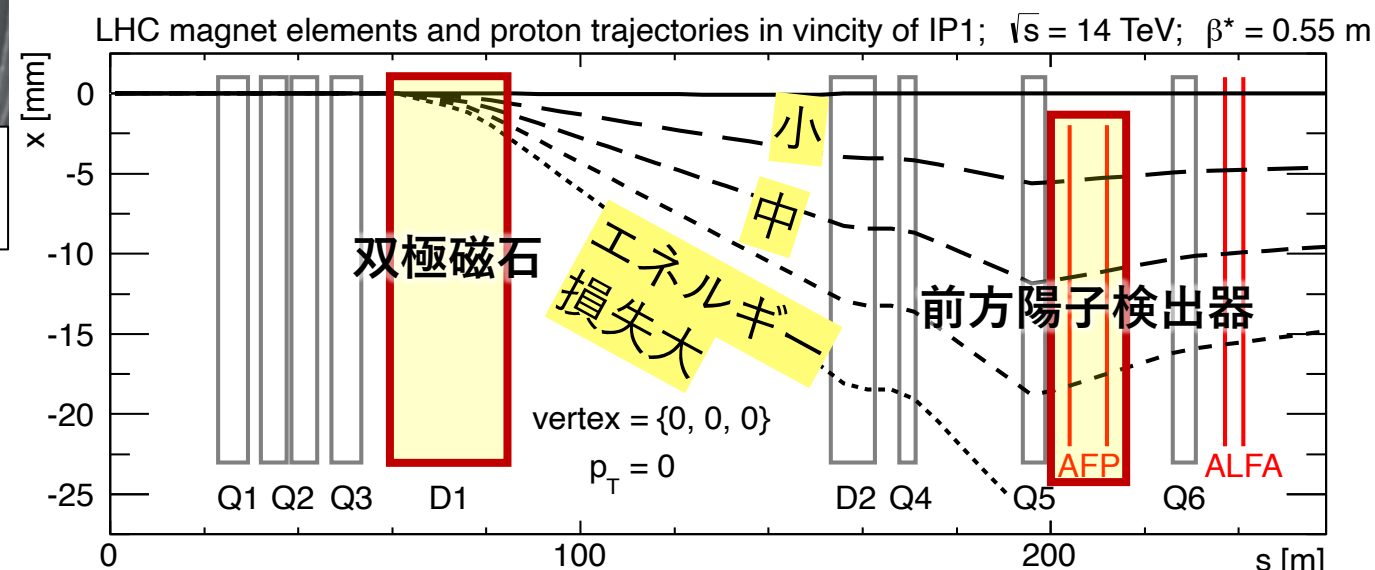
前方陽子検出器の利用



シリコントラッカーが
LHCマグネットの情報と合わせて
陽子運動量スペクトロメータの役割
→ **陽子エネルギー損失率を測定**

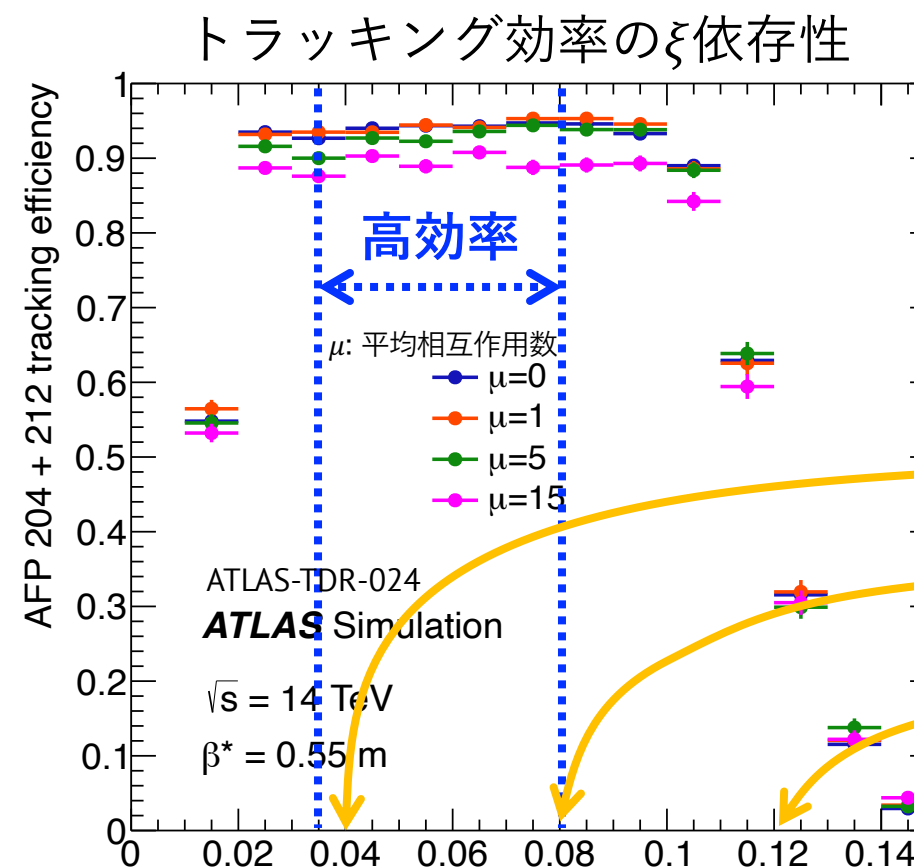
$$\xi_{\text{proton}} = 1 - \frac{E_{\text{信号陽子}}}{E_{\text{ビーム}}}$$

前方陽子検出器を利用し
壊れていない陽子に対する要求を
イベント選択条件に含めることで
SN比を大幅に上げる



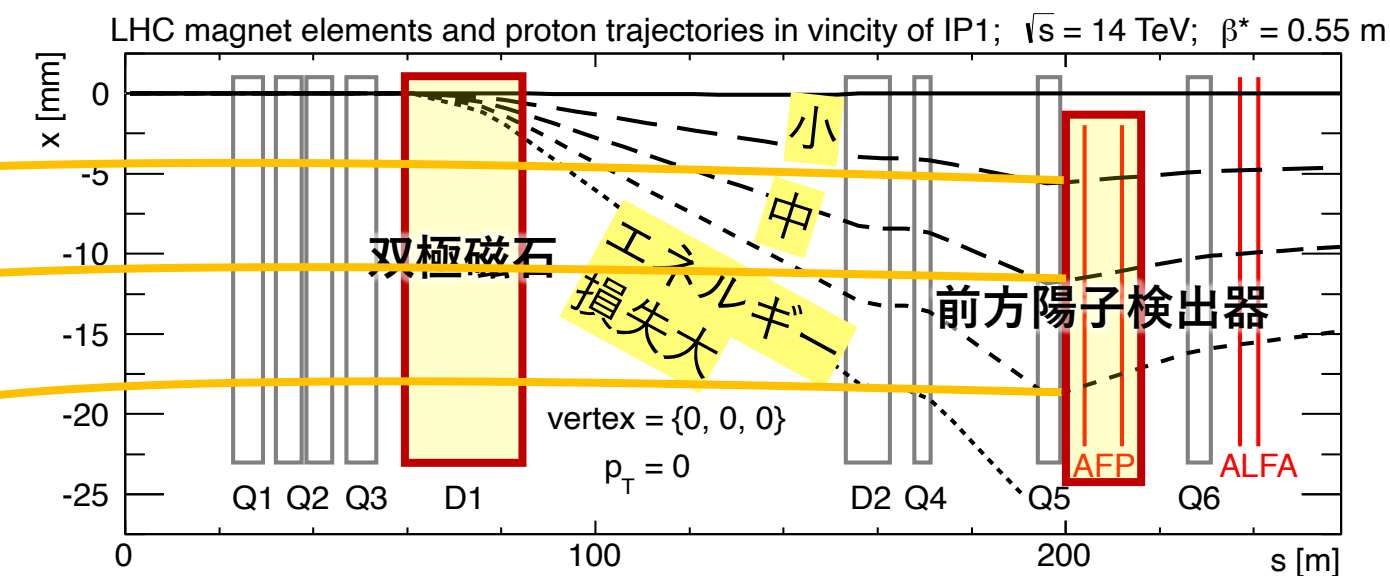
陽子は反応により数百GeVのエネルギーを損失
→ ビームの一部として残るがLHCマグネットに
曲げられて軌道がやや逸れる
陽子エネルギー損失率 ξ によって軌道が変わる

前方陽子検出器の利用



陽子エネルギー損失率 ξ
本解析では高効率の
 $0.035 \leq \xi < 0.08$ に注目

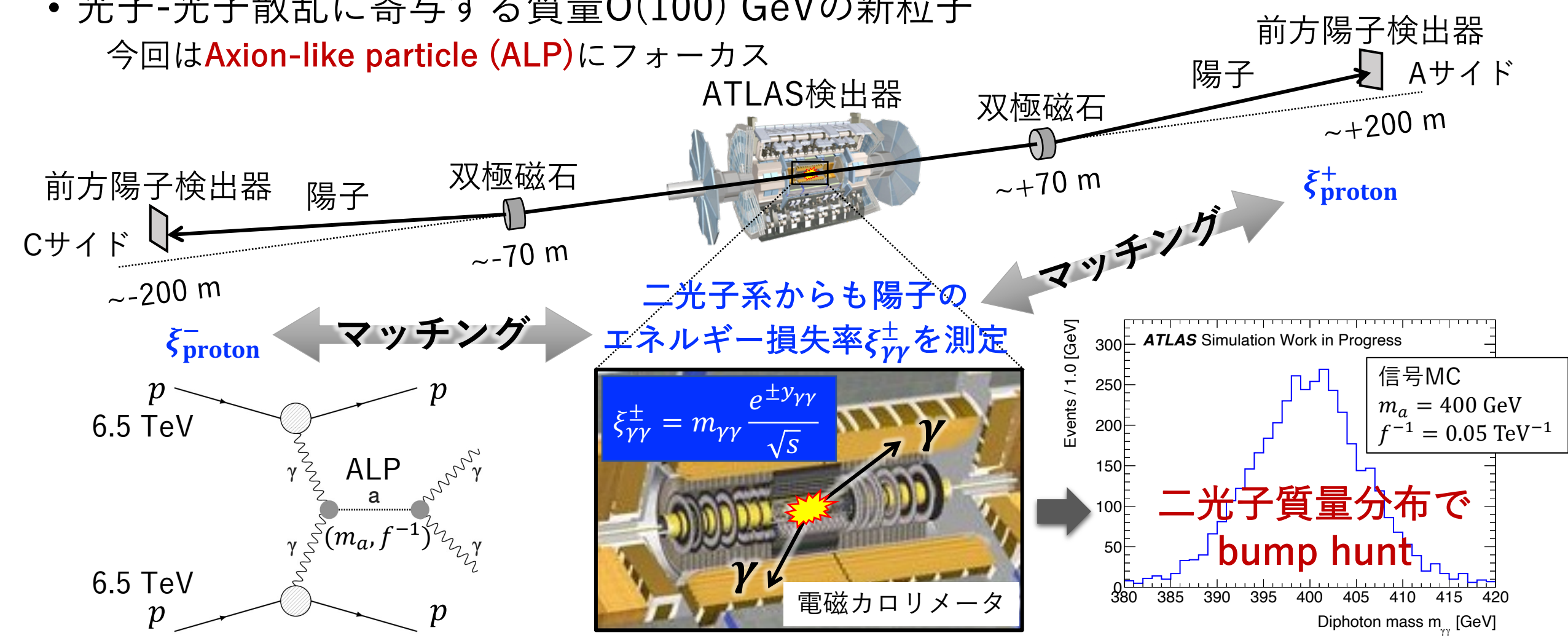
前方陽子検出器を利用し
壊れていない陽子に対する要求を
イベント選択条件に含めることで
SN比を大幅に上げる



陽子は反応により数百GeVのエネルギーを損失
→ ビームの一部として残るがLHCマグネットに
曲げられて軌道がやや逸れる
陽子エネルギー損失率 ξ によって軌道が変わる

本研究の目的

- 等価光子と前方陽子検出器を利用した二光子共鳴探索（2017年の 14.6 fb^{-1} のデータを使用）
背景事象推定手法の確立と検証、感度評価
- 光子-光子散乱に寄与する質量 $O(100) \text{ GeV}$ の新粒子
今回は**Axion-like particle (ALP)**にフォーカス



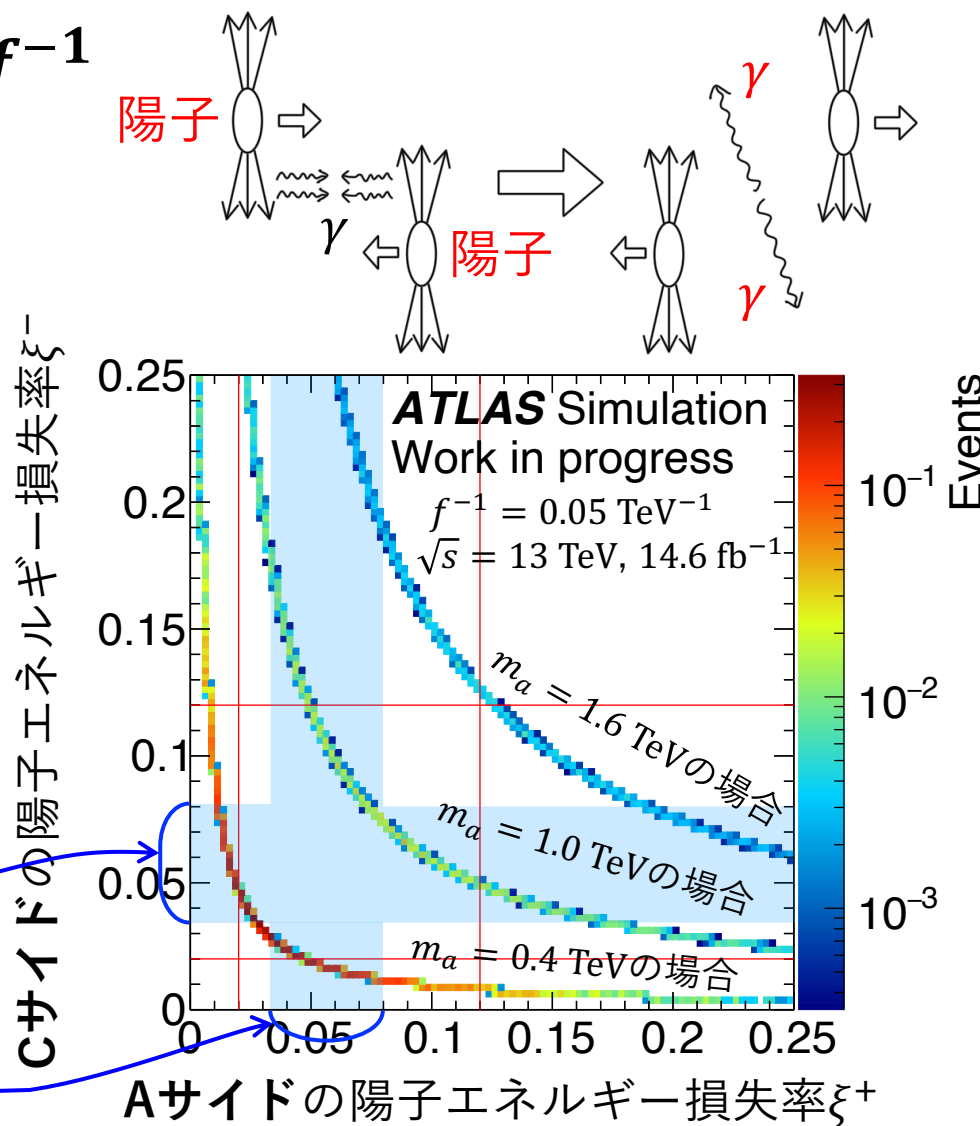
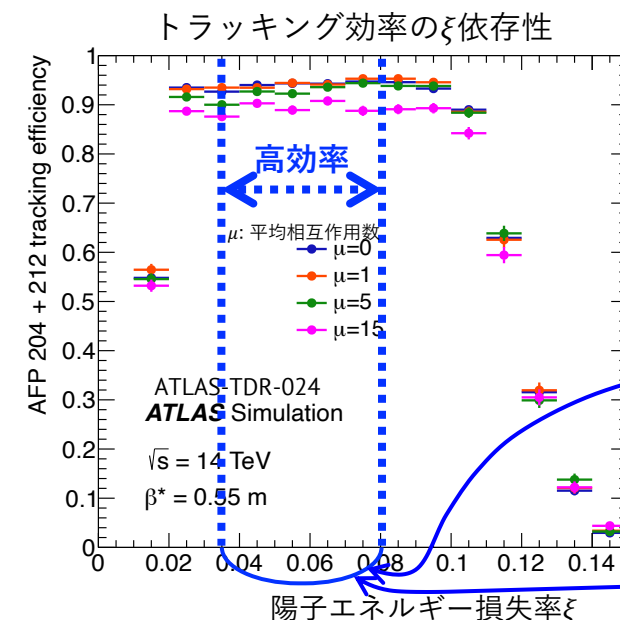
解析の戦略

- ALP: 強いCP問題を解決するために導入されたアクションの拡張
- パラメータ: 質量 m_a と(光子との)結合定数 f^{-1}

$$\mathcal{L} = \frac{1}{2} \partial^\mu a \partial_\mu a - \frac{1}{2} m_a^2 a^2 - \frac{1}{f} a F^{\mu\nu} \tilde{F}_{\mu\nu}$$

- 3つの戦略

- Back-to-backな二光子を選ぶ**
- 前方陽子の再構成効率が高い領域に注目**



解析の戦略

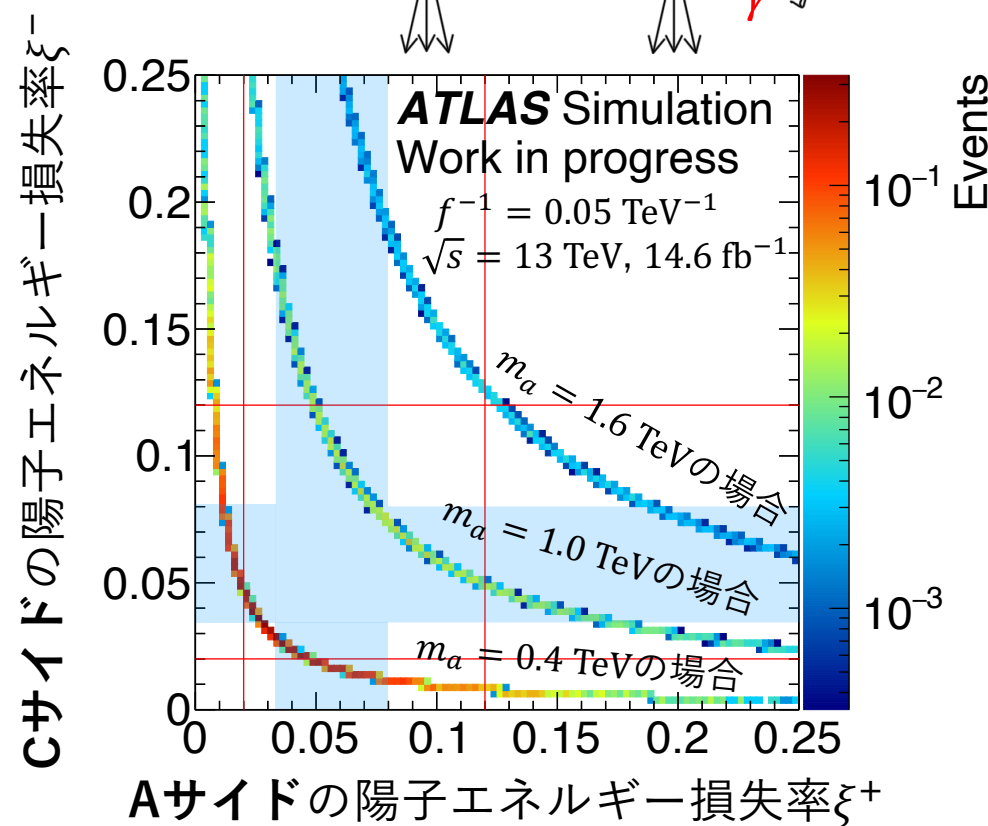
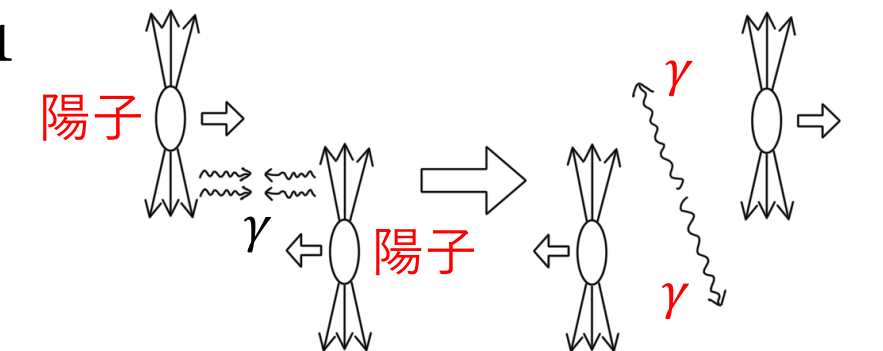
- ALP: 強いCP問題を解決するために導入されたアクションの拡張
- パラメータ: 質量 m_a と(光子との)結合定数 f^{-1}

$$\mathcal{L} = \frac{1}{2} \partial^\mu a \partial_\mu a - \frac{1}{2} m_a^2 a^2 - \frac{1}{f} a F^{\mu\nu} \tilde{F}_{\mu\nu}$$

- 3つの戦略

- Back-to-backな二光子を選ぶ**
- 前方陽子の再構成効率が高い領域に注目**
- 陽子エネルギー損失率を2通りの方法で測定し整合性を要求**

ξ_{proton}^\pm と $\xi_{\gamma\gamma}^\pm$ のマッチングによる背景事象削減



事象選択条件

- トリガー

- $E_T^{\gamma 1} \geq 35 \text{ GeV}, E_T^{\gamma 2} \geq 25 \text{ GeV}$

1. Preselection

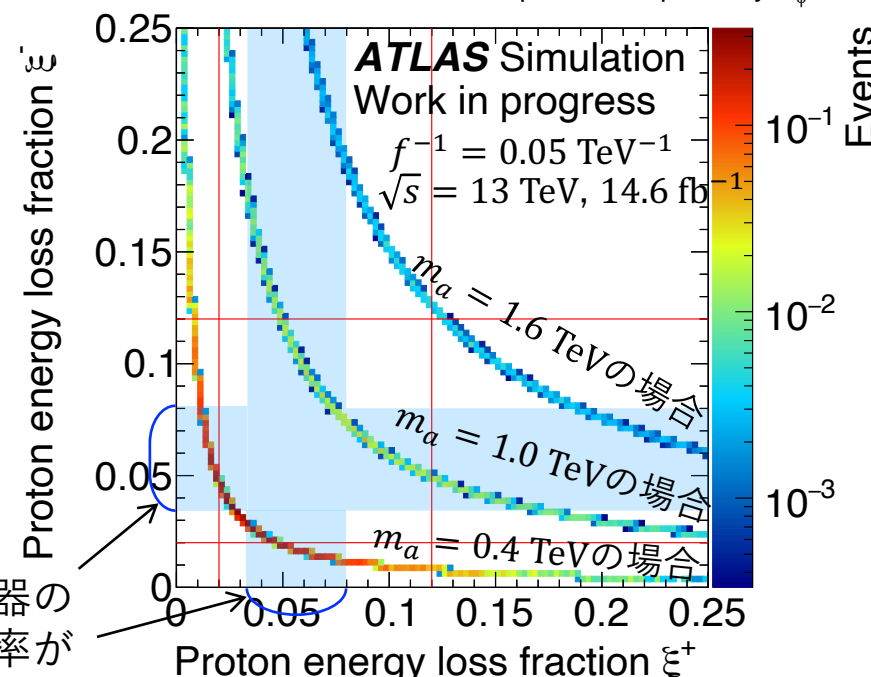
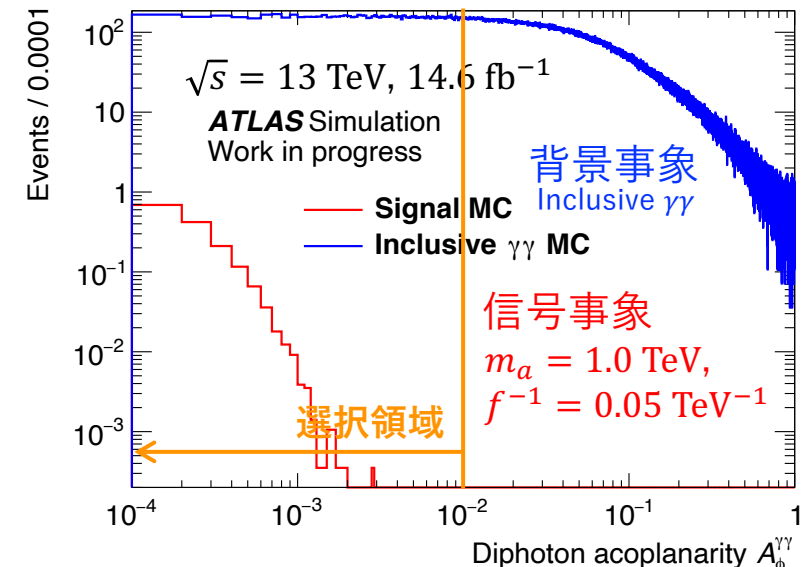
- $p_T \geq 40 \text{ GeV}$ の (isolated) **光子が2つある事象のみ**
- 前方陽子検出器の再構成陽子のうち
 $\xi_{\gamma\gamma}^\pm$ に最も近い ξ_{proton}^\pm を持つ **陽子を各サイド1つずつ選択**

2. アコプラナリティカット

- $A_\phi^{\gamma\gamma} = 1 - \frac{|\Delta\phi_{\gamma\gamma}|}{\pi} < 0.01$ (**二光子がback-to-back**)

3. 前方陽子再構成効率カット

- $\xi_{\gamma\gamma}^\pm$ と ξ_{proton}^\pm が **陽子再構成効率の高い範囲内**
[0.035, 0.08] にある事象のみ



前方陽子検出器の
陽子再構成効率が
保証される範囲

事象選択条件

- トリガー

- $E_T^{\gamma 1} \geq 35 \text{ GeV}, E_T^{\gamma 2} \geq 25 \text{ GeV}$

1. Preselection

- $p_T \geq 40 \text{ GeV}$ の (isolated) **光子が2つある事象のみ**
- 前方陽子検出器の再構成陽子のうち
 $\xi_{\gamma\gamma}^\pm$ に最も近い ξ_{proton}^\pm を持つ **陽子を各サイド1つずつ選択**

2. アコプラナリティカット

- $A_\phi^{\gamma\gamma} = 1 - \frac{|\Delta\phi_{\gamma\gamma}|}{\pi} < 0.01$ (**二光子がback-to-back**)

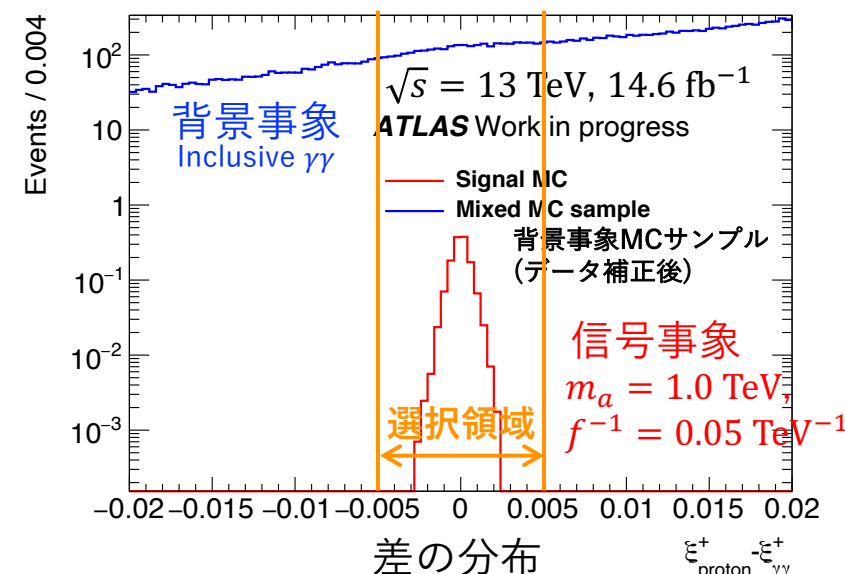
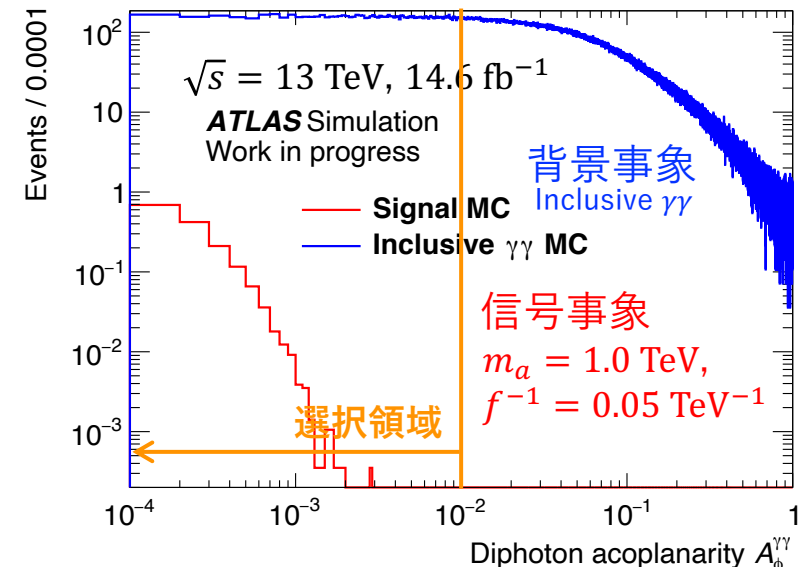
3. 前方陽子再構成効率カット

- $\xi_{\gamma\gamma}^\pm$ と ξ_{proton}^\pm が **陽子再構成効率の高い範囲内**
[0.035, 0.08] にある事象のみ

4. 陽子と二光子の測定間の整合性の要求(マッチング)

- $\Delta\xi^\pm = |\xi_{\text{proton}}^\pm - \xi_{\gamma\gamma}^\pm| < 0.005$ (**陽子と二光子のξが矛盾しない**)

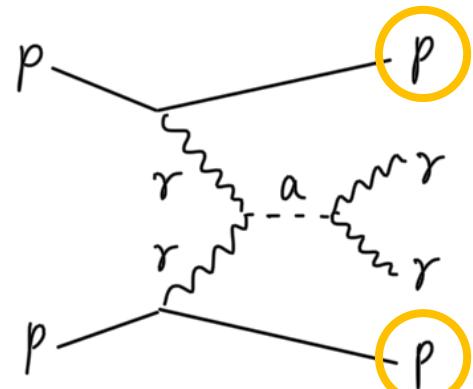
両サイド(\pm)のうちどちらか一方でも条件を満たせば事象選択



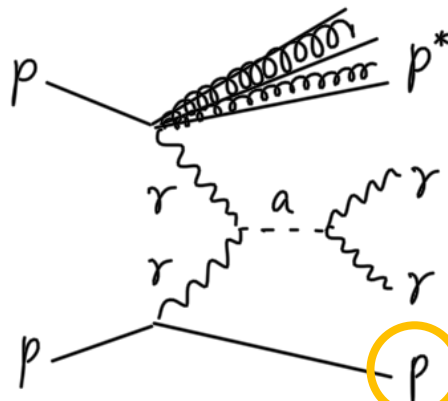
信号事象と背景事象

信号事象

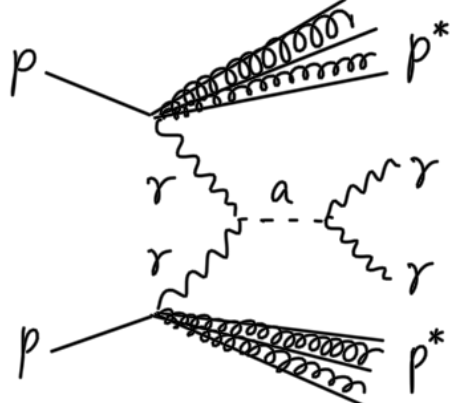
排他的



陽子が1つ壊れる



陽子が2つ壊れる



3通りの信号過程のうち

壊れない陽子がある

排他的/1つ壊れる信号
に注目

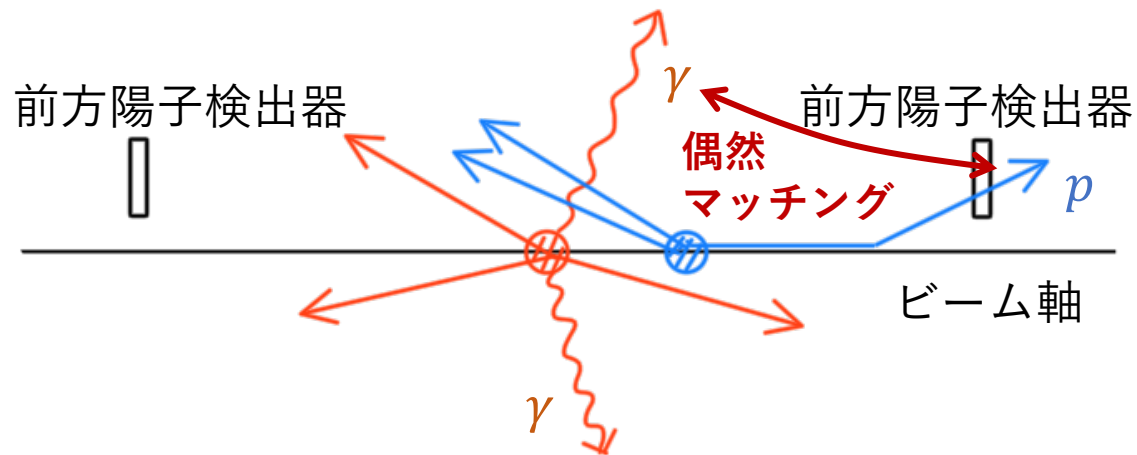
前方陽子検出器で検出可能

背景事象

二光子と陽子に相関がない事象
(**組合せ背景事象**)が支配的

例

Drell-Yanなど排他的でない二光子生成と
パイルアップ陽子(別のバーテックス由来の陽子)



二光子として観測されるプロセス
(フェイク含む)は様々
→ データドリブンな推定が望ましい

背景事象の推定手法

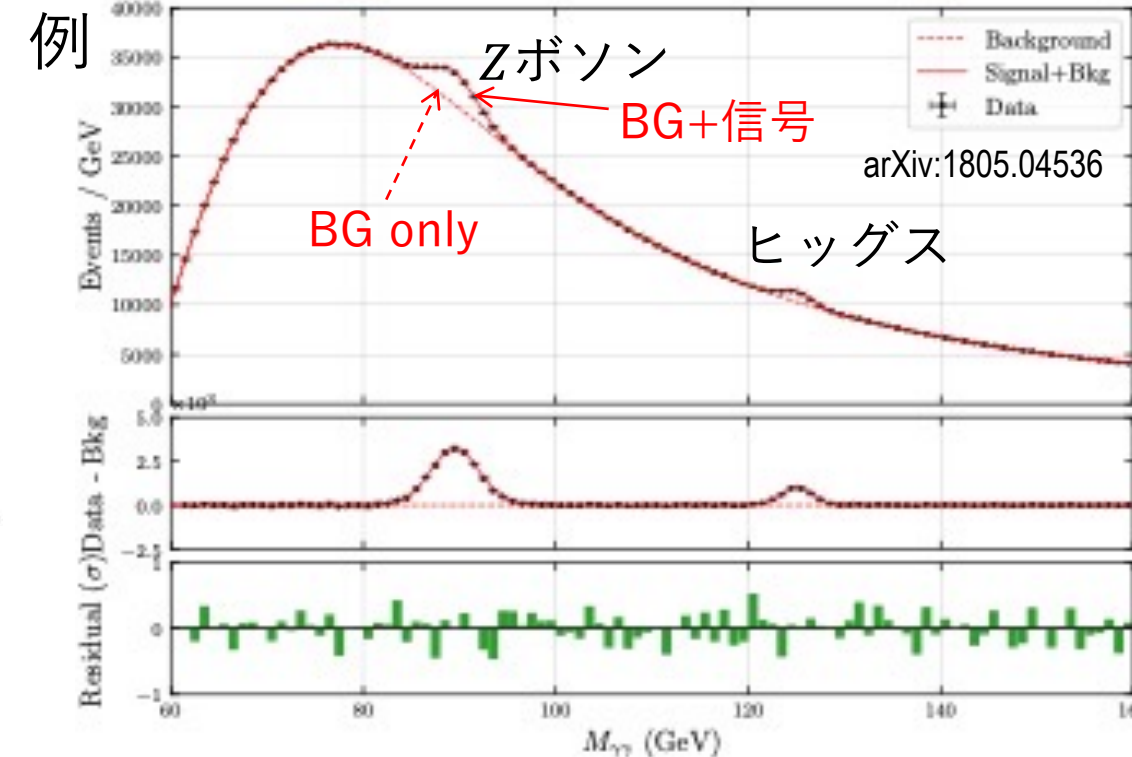
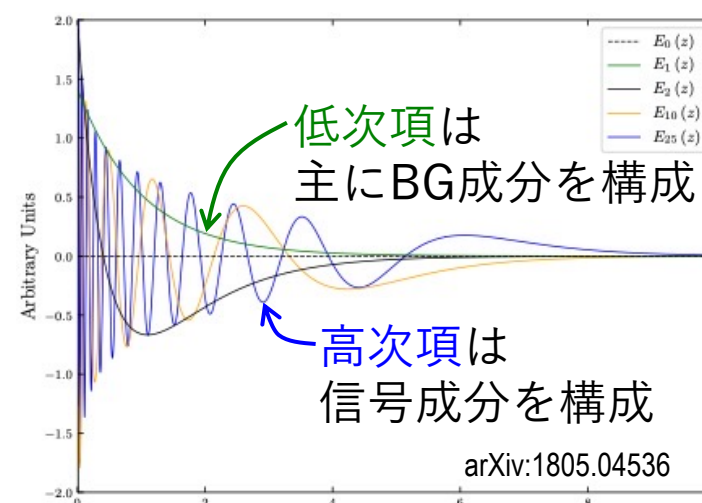
Functional decomposition (FD)を使う

データの二光子不变質量分布から**信号と背景事象をモデル**する手法

- ・データ D
- ・仮定する信号分布 S
(normalized)
- を専用の
正規直交関数系→
の線形和で表す
(decomposition)

$$D = B + \mu S = \sum_{n=0}^{N_{BG}-1} b_n E_n(z) + \mu \sum_{n=0}^N s_n E_n(z)$$

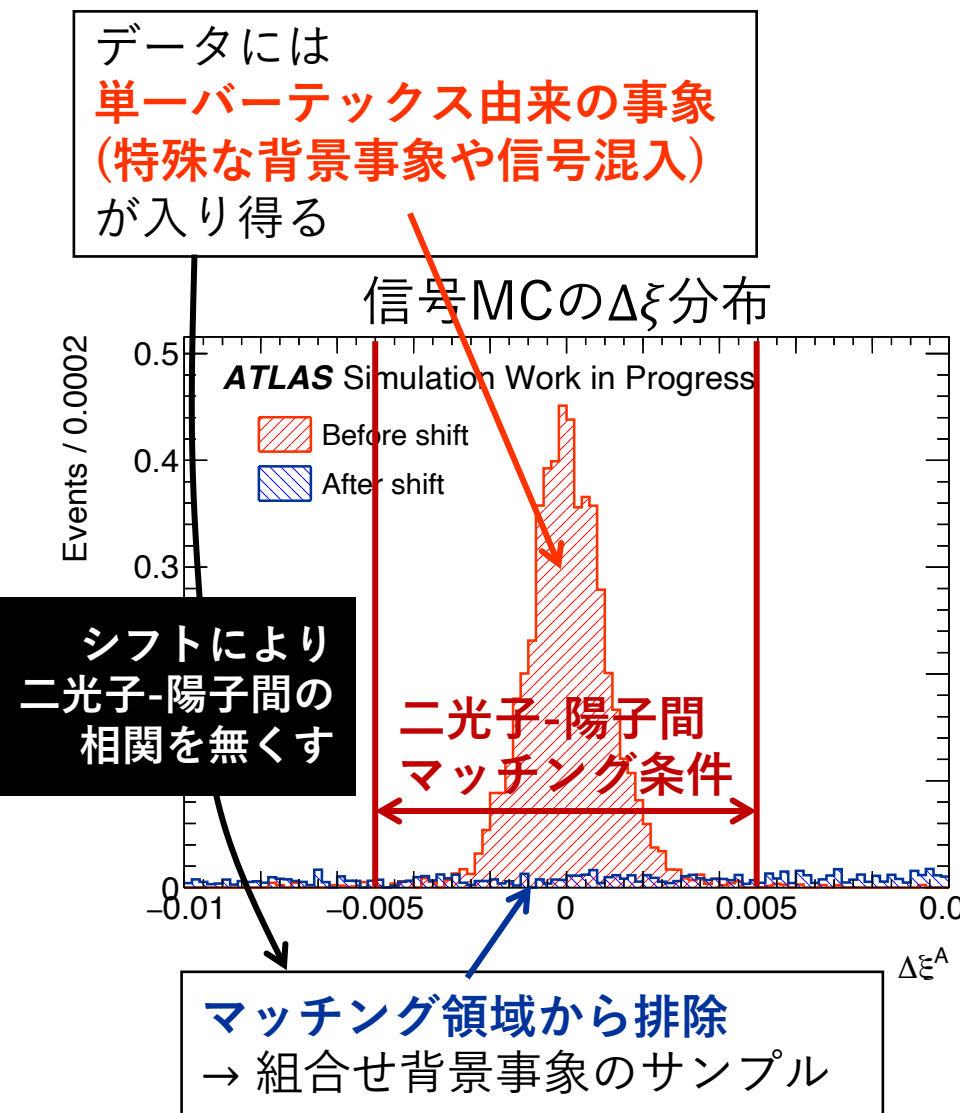
BGをオーバーフィットしない程度に
精度良くフィットできるよう
低次と高次の境目 N_{BG} を最適化



手法の正しさを事前に検証しておくことが重要
→ 信号事象と背景事象のサンプルが必要

背景事象のサンプル

支配的な組合せ背景事象のサンプルを作成



データ(preselection前)		
イベント番号	光子コンテナ番号	陽子コンテナ番号
1	1	1
2	2	2
3	3	3
:	:	:
N-1	N-1	N-1
N	N	N

シフトデータ

イベント番号	光子コンテナ番号	陽子コンテナ番号
1	1	2
2	2	3
3	3	4
:	:	:
N-1	N-1	N
N	N	1

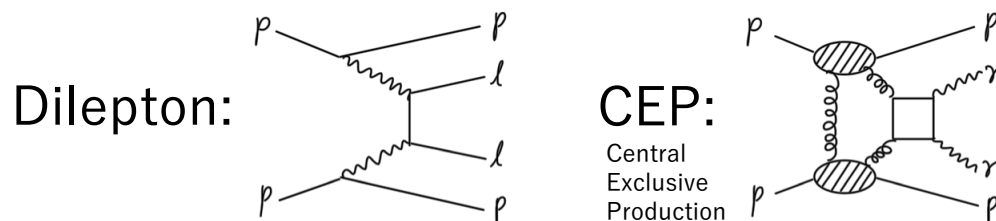
データドリブンなサンプル

本解析特有の事象選択の効率などをより正確に再現

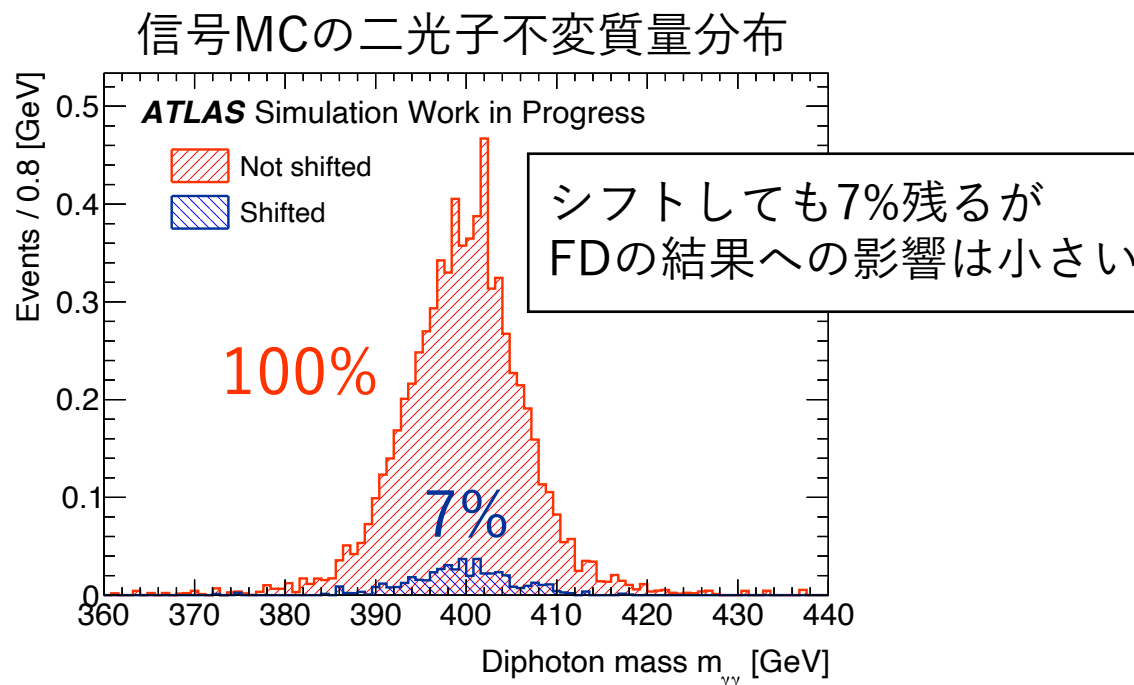
背景事象サンプルの確認

シフトデータ作成の際の注意点

- ① 単一バーテックスに由来する背景事象
→ 今回は無視(寄与はわずか)

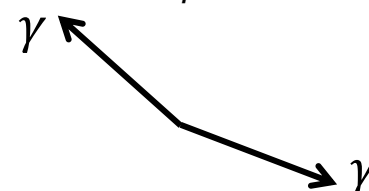


- ② 信号の混入

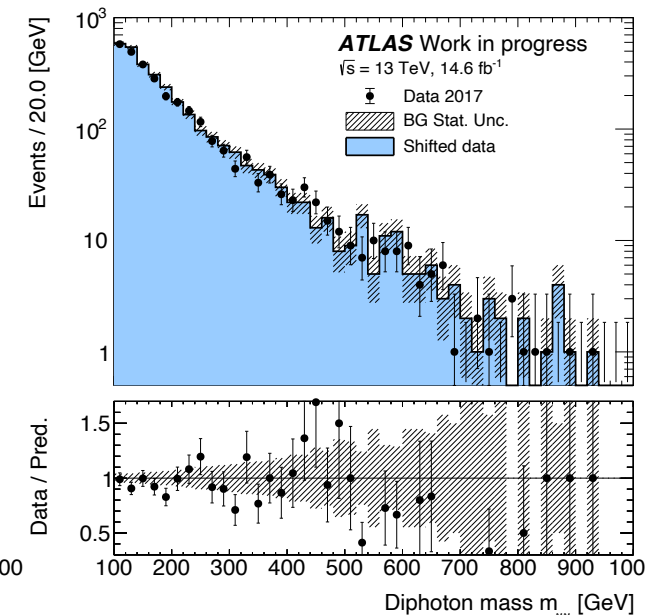
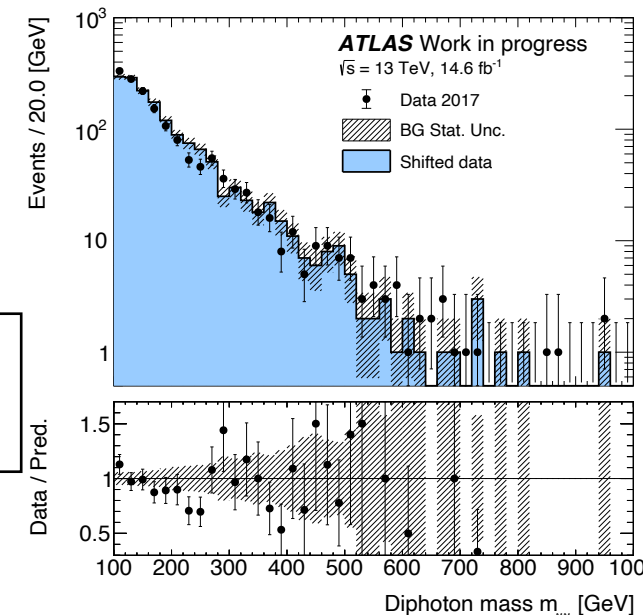
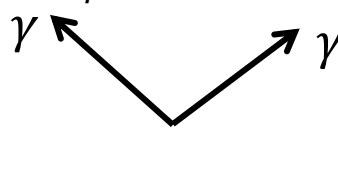


- ③ データとの予期せぬ不一致の可能性

$$0.01 < A_\phi^{\gamma\gamma} < 0.05$$



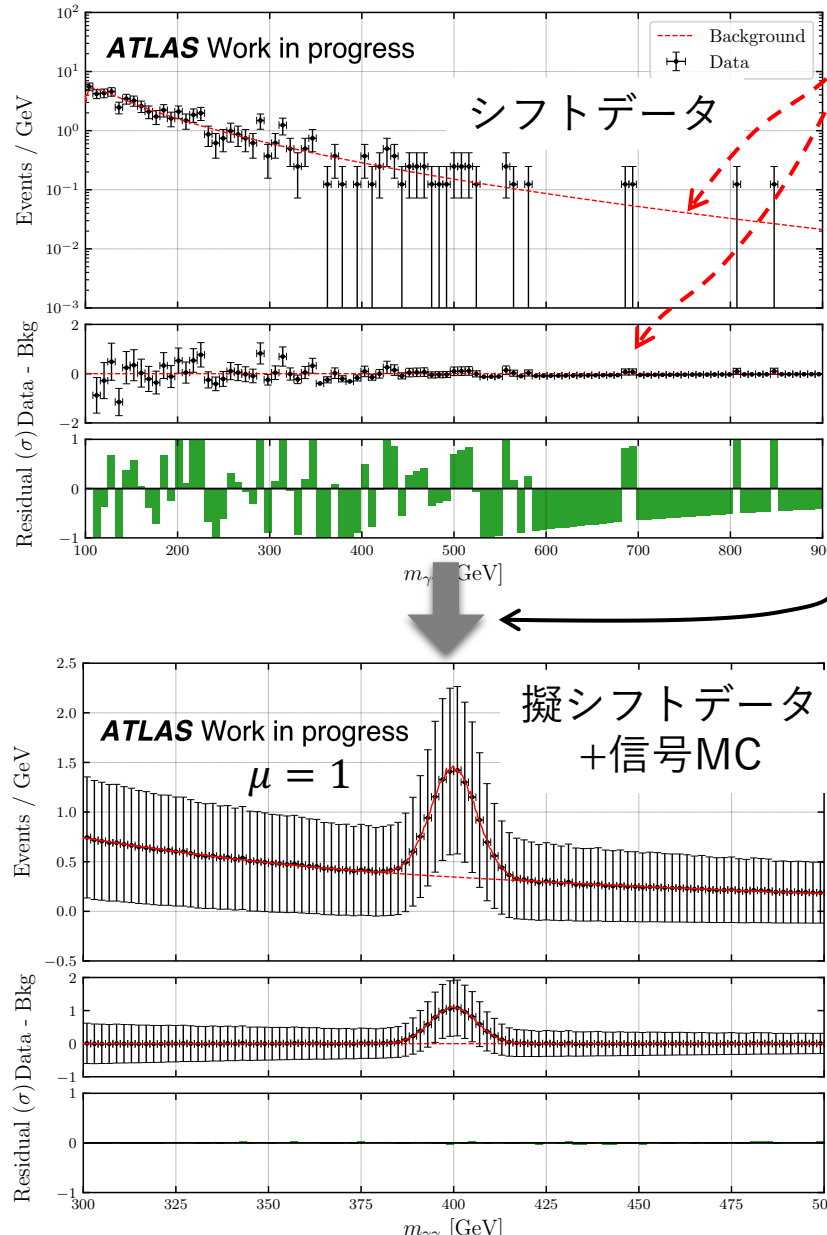
$$A_\phi^{\gamma\gamma} \geq 0.05$$



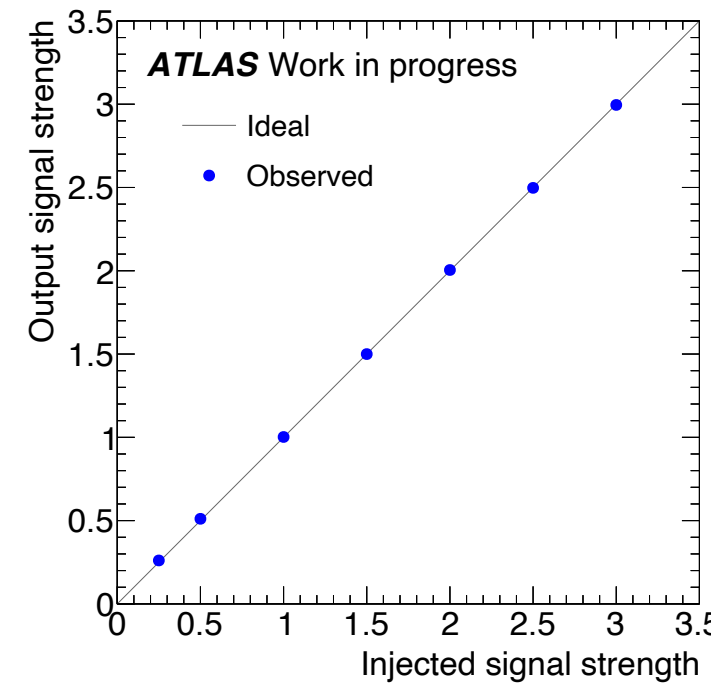
信号のサイドバンドの二光子不変質量分布においてデータとの不一致は見られない

背景事象推定手法の検証

二光子不变質量分布



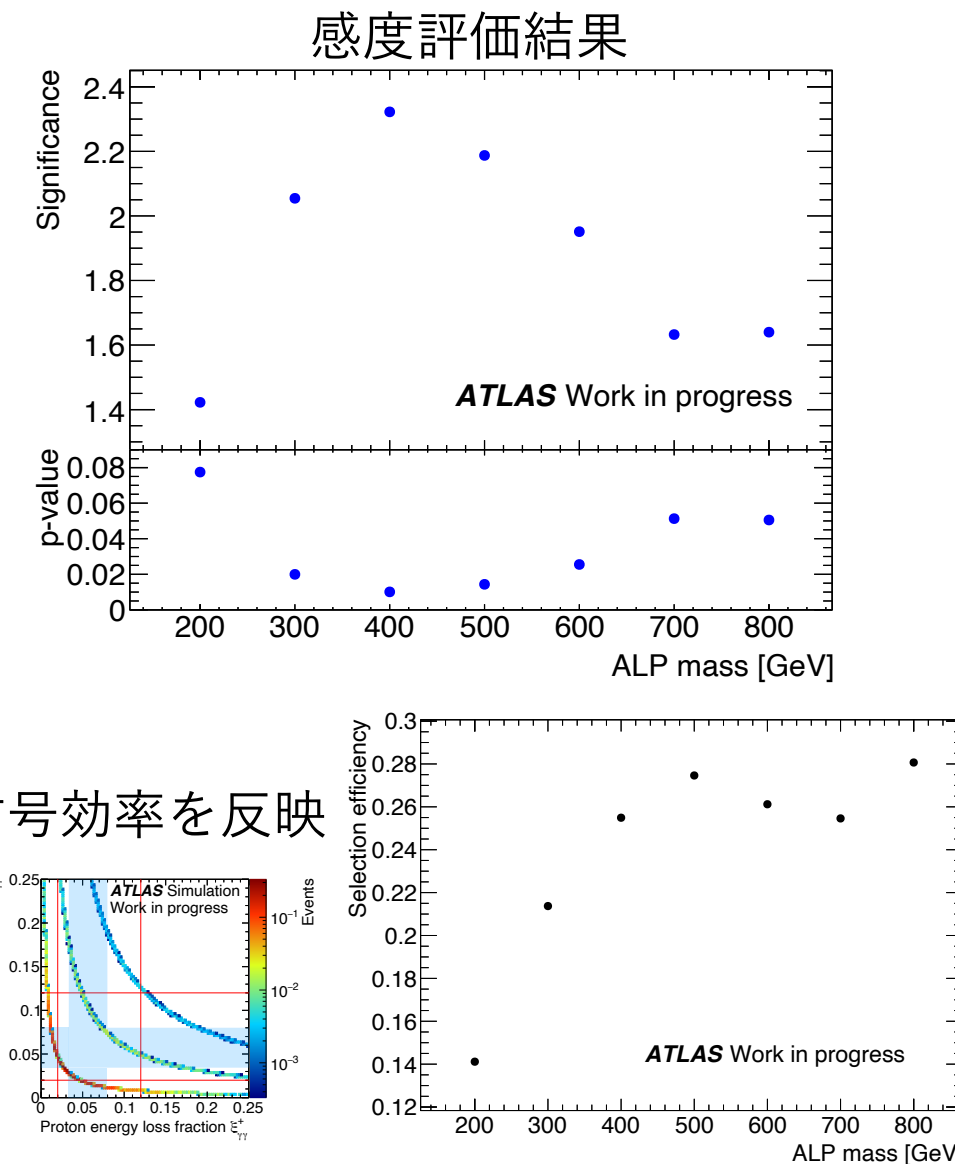
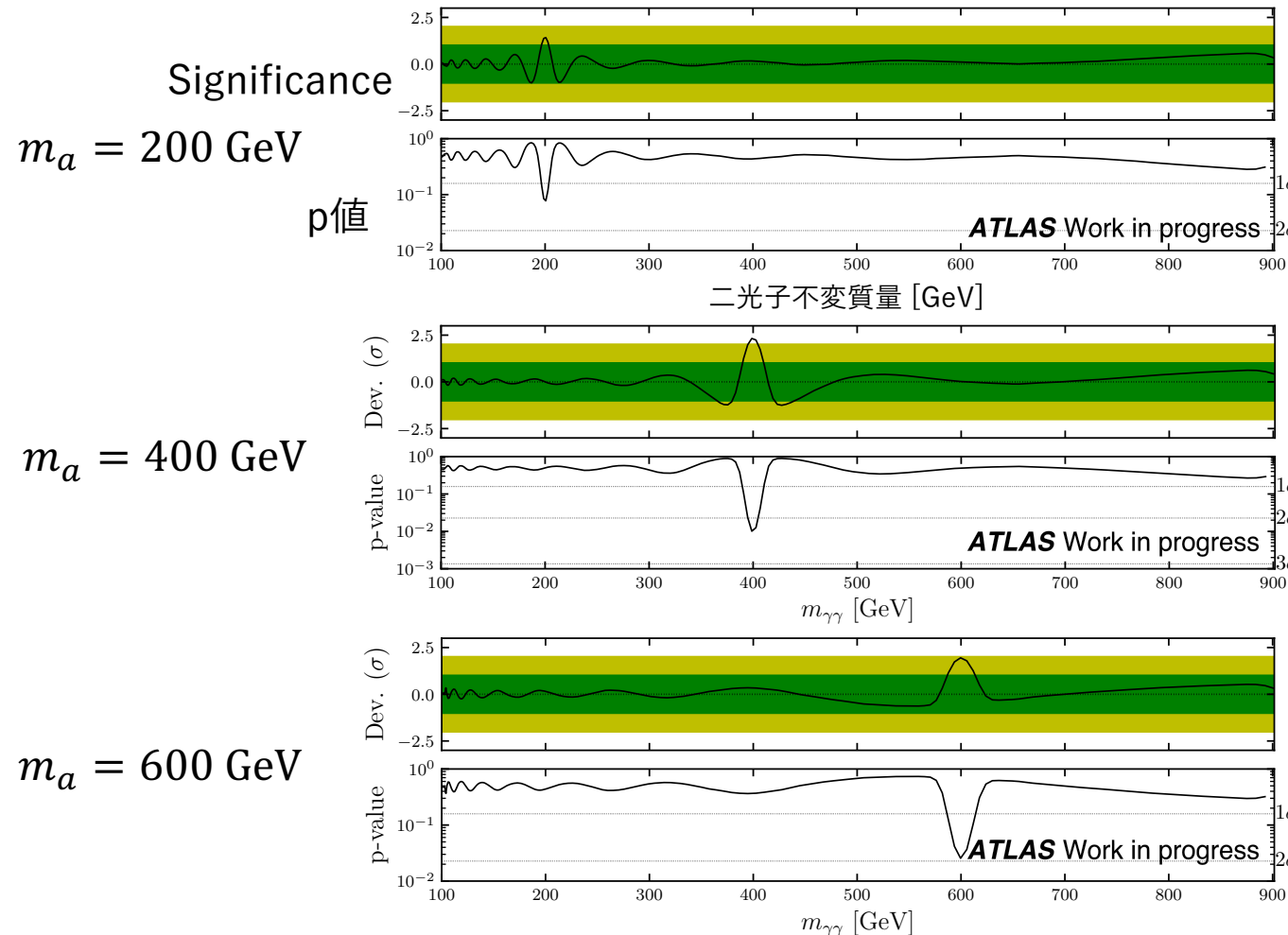
- ① シフトデータ(事象選択後)からFDで背景事象分布を得た
→ 残差から結果がreasonableであることを確認
 $\chi^2/d = 0.0958$
- ② これをもとに同じ誤差を持つ高統計の
擬シフトデータを生成(Asimov data)
→ $m_a = 400 \text{ GeV}$, $f^{-1} = 0.05 \text{ TeV}^{-1}$ の
信号MCを異なる強度 μ で入力 → BG+信号フィット



平均1%以内の精度で
各々 入力と整合

感度評価

擬データに $f^{-1} = 0.05 \text{ TeV}^{-1}$ の信号MCを強度 $\mu = 1$ で入力
複数通りのALP質量で実験



まとめと展望

まとめ

- 二光子系と前方陽子のkinematicsの整合性を要求して二光子共鳴探索
- 支配的な「組合せ背景事象」を見積もるためにシフトデータを作成
- シフトデータをfunctional decompositionしてBGと信号をモデル
 - FDの想定通りの動作を確認
 - 感度を評価し信号効率から想定される振る舞いを確認

展望

Run2のデータを使ってALPを探索

- 単一バーテックス背景事象の影響を見積もる
- 系統誤差を見積もる
- データの考察: ALP質量/結合定数でスキャン → 観測 or 棄却域の設定